

## ПЕРЕХОДНЫЙ ТОК В ПОЛУПРОВОДНИКЕ С БАРЬЕРНЫМ КОНТАКТОМ

Бобылев Б. А., Косцов Э. Г.

Проведен анализ токового переходного процесса в полупроводнике с барьерным контактом. Выявлен новый тип переходного процесса, связанный с компонентой тока эмиссии носителей заряда из контакта в период термической перезарядки примесных центров, которая обуславливает появление минимума полного тока при изменении его во времени.

Найдено условие наблюдения минимума и получены соотношения, позволяющие определять параметры полупроводниковых структур и примесных центров по характеристикам переходного тока. Приведены экспериментальные данные по токовому переходному процессу обратно смещенных структур  $n^+ - \pi - p^+$ -GaAs  $\langle Fe \rangle$ , поведение которого описывается в рамках рассмотренной модели. Происхождение отрицательных пиков в токовых релаксационных спектрах однозначно связано с преобладанием тока эмиссии из контакта над током термической эмиссии перезаряжающихся примесных центров.

**1. Введение.** Исследование переходного тока в высокомоменных полупроводниковых материалах с барьерными контактами позволяет извлекать достаточно полную информацию о свойствах материала, в том числе о характеристиках примесных центров. Переходный ток в структурах с барьерными контактами рассматривался во многих работах, например в [1-4]. Однако при анализе переходного процесса обычно использовались приближенные подходы без точного решения замкнутой системы уравнений, описывающих кинетику перезарядки примесных центров, распределения электрического поля, заряда и полного тока в образце. В рамках упрощенных моделей не всегда удается описать детали переходного процесса, наблюдавшиеся в эксперименте. В частности, в экспериментах по токовой релаксации спектроскопии глубоких уровней в высокомоменных полупроводниках (PICTS) не находит удовлетворительного объяснения факт наблюдения в релаксационных спектрах пиков отрицательной полярности [5-9].

Целью данной работы является описание токового переходного процесса в полупроводнике с барьерным контактом при наличии одного типа примесных центров на основании анализа численного решения замкнутой системы уравнений, определяющих распределение электрического поля, свободных и связанных носителей заряда и токов в образце, позволяющее вскрыть механизм появления отрицательных пиков в токовых релаксационных спектрах.

В результате анализа удалось найти новый тип переходного процесса, приводящий к появлению минимума на временной зависимости переходного тока. Он обусловлен нарастающей во времени компонентой тока надбарьерной эмиссии при термической перезарядке примесного центра; определены условия его наблюдения. На основании результатов анализа проведена интерпретация экспериментальных данных по измерению переходного тока и токового релаксационного спектра  $n^+ - \pi - p^+$ -структур арсенида галлия, легированного железом.

**2. Теоретическая модель.** В качестве модели структуры взят полупроводниковый слой толщиной  $d$  с одним донорным уровнем, заключенный между электродами. Электроды образуют с полупроводником барьерный контакт с барьером  $\varphi_b$  для основных носителей заряда (для определенности — электронов).

При анализе переходного процесса использовалась следующая система уравнений:

$$\frac{\partial n}{\partial t} = -\mu \frac{\partial}{\partial x} (nE) - \frac{\partial n_t}{\partial t}, \quad (1)$$

$$\frac{\partial n_t}{\partial t} = \sigma v n (N_t - n_t) - \sigma v N_c e^{-E_t/kT} n_t, \quad (2)$$

$$\frac{\partial E}{\partial x} = \frac{e}{\varepsilon \varepsilon_0} (n + n_t - N_t), \quad (3)$$

дополненная уравнением для полного тока в бездиффузионном приближении

$$j(t) = e\mu n(x, t) E(x, t) + \varepsilon \varepsilon_0 \frac{\partial E(x, t)}{\partial t} \quad (4)$$

и условием постоянства падения напряжения на слое полупроводника

$$\int_0^d E(x, t) dx = V. \quad (5)$$

Здесь  $x$  — координата,  $t$  — время,  $e$  — заряд электрона,  $n(x, t)$  — концентрация свободных носителей заряда,  $n_t(x, t)$  — концентрация электронов на примесном центре,  $N_t$  — концентрация примесных центров,  $N_c$  — плотность состояний в зоне проводимости,  $T$  — абсолютная температура,  $k$  — постоянная Больцмана,  $\sigma$  — сечение захвата электронов примесным центром,  $v$  — тепловая скорость электронов,  $\mu$  — подвижность электронов,  $E(x, t)$  — напряженность электрического поля в образце,  $E_t$  — глубина энергетического уровня донора,  $\varepsilon \varepsilon_0$  — диэлектрическая проницаемость полупроводника,  $V$  — приложенное напряжение. Начальные условия задавались исходя из условия электронейтральности образца, а равновесная концентрация электронов определялась выражением<sup>1</sup>

$$n_0 = \sqrt{N_t N_c} e^{-E_t/2kT}. \quad (6)$$

Для барьерного контакта использовалось граничное условие

$$n(0, t) = n_k = N_c e^{-\varphi_b/kT} = \text{const}, \quad (7)$$

характерное для термоэлектронной эмиссии с поверхности электрода. Приведенная система уравнений (1)–(5) может быть записана и в безразмерном виде, если принять  $x' = x/d$ ,  $n'_t = n_t/N_t$ ,  $t' = t/\tau_t$ ,  $E' = E/E_0$ ,  $n' = n/n_k$ ,  $j' = j/j_0$ , где  $\tau_t = [\sigma v N_c e^{-E_t/kT}]^{-1}$  есть постоянная времени термической эмиссии электронов с примесного центра,  $j_0 = e\mu n_0 E_0$  — ток равновесных электронов через образец в однородном электрическом поле  $E_0 = V/d$ . В этом случае только четыре параметра определяют решение системы:

$$A = e^{\frac{\varphi_b - E_t}{kT}}, \quad B = \frac{2\sigma v \varepsilon \varepsilon_0}{e\mu}, \quad C = \frac{n_k}{N_t}, \quad E_0.$$

При численном анализе переходного тока использовалась методика, описанная в работах [10, 11]. Шаг по времени выбирался много меньшим характеристических времен, определяющих процесс в текущем интервале значений  $t$ . Шаг по координате выбирался много меньшим длины, характеризующей градиент поля. За критерий точности принималось постоянство полного тока по толщине образца.

В результате решения указанной системы уравнений определялись распределения  $n'(x, t)$ ,  $n'_t(x, t)$ ,  $E'(x, t)$ , величина полного тока  $j'(t)$  и его составляющие — ток проводимости  $j_{np}(x, t)$  и ток смещения  $j_{cm}(x, t)$ . Знание этих величин позволяет детально описать физическую картину переходного процесса и уста-

<sup>1</sup> Фактор спинового вырождения примесного уровня принят равным 1.

новить связь между поведением переходного тока, параметрами полупроводника, характеристиками примесных центров и условиями на контакте.

3. Результат численного анализа. Численный эксперимент позволил выделить два качественно различных типа переходного процесса. Соответствующие

зависимости изменения полного тока во времени представлены на рис. 1. Первый тип переходного процесса (кривая 2) отвечает традиционному представлению о переходном процессе в полупроводнике с барьерным контактом. Второй тип переходного процесса (кривая 1) является новым результатом, который не мог быть получен в рамках упрощенных моделей, использовавшихся ранее.

На рис. 2 приведены распределения в объеме образца электрического поля

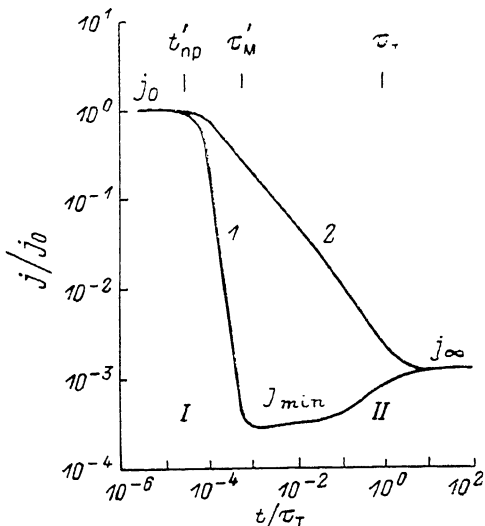


Рис. 1. Изменение полного тока во времени в полупроводнике с барьерным контактом. Значения параметров:  $A=2.16$ ,  $C=2.5 \cdot 10^{-4}$ ,  $E_0=3 \cdot 10^7$  В/м; 1 —  $B=1.1 \cdot 10^{-2}$ ,  $B/2 < A^{-1}$ ; 2 —  $B=11$ ,  $B/2 > A^{-1}$ .

(a), свободных и захваченных на центр электронов (б) на различных стадиях переходного процесса: в начальный момент, во время, соответствующее минимуму тока для переходного процесса 2, и при  $t=\infty$ , соответствующем стацио-

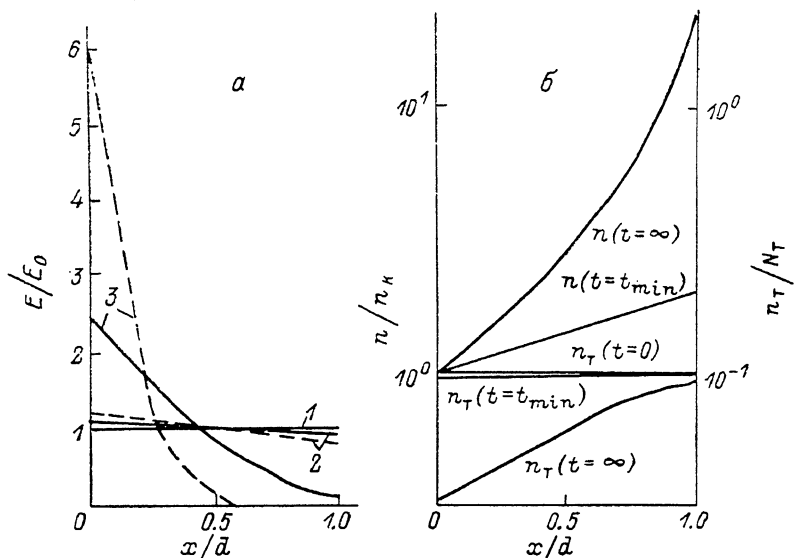


Рис. 2. Распределения в образце электрического поля  $E'$  ( $x$ ) (а), концентрации свободных  $n'$  ( $x$ ) и связанных  $n_T$  ( $x$ ) электронов (б) на различных стадиях переходного процесса.

а)  $t$ : 1 — 0, 2 —  $t_{\min}$ , 3 —  $\infty$ ; штриховая кривая — зависимости  $E'$  ( $x$ ) при  $C=4 \cdot 10^{-5}$ ,  $A=2.16$ ,  $B=-1.1 \cdot 10^{-2}$ ,  $E_0=3 \cdot 10^7$  В/м; б)  $[n(t=0)/n_T]=10^2$ .

нарному режиму. Представленные на рис. 1 и 2 зависимости получены при различных значениях указанных параметров. Вертикальными стрелками на рис. 1 отмечены характеристические времена, определяющие переходный процесс: время пролета электронов через образец  $t'_{np}=\frac{d}{\mu E} \frac{1}{\tau_\tau}$ , время диэлектрической

релаксации полупроводника  $\tau'_M=\frac{\varepsilon \varepsilon_0}{e \mu n_0} \frac{1}{\tau_\tau}$ .

4. Переходный процесс и его аналитическое описание. Рассмотрим более подробно прохождение переходного тока в указанной структуре и механизм появления минимума на кривой  $j'(t)$ . Переходный процесс может быть условно разбит на две стадии ( $I$ ,  $II$ ). В течение  $I$  стадии равновесные электроны уходят из объема полупроводника. Поведение полного тока в этом интервале времени может определяться либо пролетом электронов между электродами, либо процессом диэлектрической релаксации (в зависимости от соотношения времен  $\tau_k$  и  $t_{\min}$ ). Описание токопрохождения на этой стадии достаточно полно освещено в литературе [4]. На  $II$  стадии при  $t > t_{\min}$  доминирующую роль начинает играть процесс перезарядки примесного центра, приводящий к перераспределению электрического поля по толщине образца и соответственно к изменению тока проводимости в прикатодной области, появлению тока эмиссии электронов с примесных центров и тока смещения. Из постоянства полного тока имеем

$$j(t) = e\mu n_k E_k + \epsilon\epsilon_0 \frac{\partial E_k}{\partial t}, \quad (8)$$

где  $E_k \equiv E(0, t)$ . При  $t \approx t_{\min}$  для высокоомных полупроводников, когда зарядом свободных носителей заряда можно пренебречь ( $n_0 \ll \epsilon\epsilon_0 E_0 / ed$ ), полагая  $n_t(0, t) \approx N_t$  [2],

$$E_k = E_0 + \frac{Q}{\epsilon\epsilon_0} \left(1 - \frac{x}{d}\right) \approx E_0 + \frac{Q}{2\epsilon\epsilon_0}, \quad (9)$$

где  $Q \approx eN_t(1 - e^{-t/\tau_t})$ ,  $x$  — положение центроида заряда в образце (при  $t \approx t_{\min}$ ,  $x = 1/2$ ). Тогда из (8) и (9) следует

$$j(t) = e\mu n_k \left(E_0 + \frac{eN_t d}{2\epsilon\epsilon_0}\right) + \frac{eN_t d}{2} \left(\frac{1}{\tau_t} - \frac{1}{\tau_k}\right) e^{-t/\tau_t}. \quad (10)$$

Здесь  $\tau_k = \epsilon\epsilon_0 / e\mu n_k$  — время диэлектрической релаксации у катода. Выражение (10) позволяет найти физическую причину появления минимума тока на кривой  $j(t)$ . Как видно из (10), полный ток состоит из двух изменяющихся во времени составляющих. Первая составляющая определяется эмиссией носителей заряда с примесных центров. Она экспоненциально убывает со временем с постоянной  $\tau_t$ , амплитуда ее пропорциональна скорости эмиссии  $\tau_t^{-1}$ . Эта компонента тока обычно и принималась во внимание в ранее используемых моделях. Вторая составляющая определяется эмиссией носителей заряда через барьерный контакт. Она нарастает во времени с той же постоянной  $\tau_t$ , а ее амплитуда пропорциональна  $\tau_k^{-1}$ . Нарастание тока эмиссии из контакта обусловлено ростом напряженности электрического поля вблизи контакта в процессе перезарядки примесных центров и образования области пространственного заряда. Очевидно, что переходный ток на  $II$  стадии будет нарастать или спадать во времени в зависимости от соотношения амплитуд, его составляющих, т. е. условием наблюдения минимума в переходном токе является неравенство

$$\tau_k^{-1} > \tau_t^{-1},$$

или

$$A^{-1} \equiv e^{\frac{E_k - \varphi_k}{kT}} > \frac{\sigma v \epsilon \epsilon_0}{e\mu} \equiv \frac{B}{2}. \quad (11)$$

Выполнение этого условия зависит от соотношения параметров полупроводника, контактного потенциала и характеристик примесного центра.

Существование переходного процесса в рассматриваемой структуре с нарастающей во времени компонентой тока дает ключ для интерпретации факта появления отрицательных пиков в токовых релаксационных спектрах полупроводников с глубокими уровнями. Отрицательный пик токового релаксационного спектра обусловлен преобладанием тока эмиссии из электрода над током эмиссии с примесных центров при выполнении условия (11). Ясно, что изменение температуры образца может привести к перераспределению роли каждой из указанных составляющих полного тока и соответственно к появлению либо исчезновению участка с минимумом тока.

Учитывая потребности метода токовой релаксационной спектроскопии, рассмотрим соотношения между  $j_{\min}$  и  $j_{\infty}$ , определяющие амплитуду токовых релаксационных спектров.

Как следует из (10), ток в минимуме при  $t_{\min} \ll \tau_r$  равен

$$j_{\min} = e\mu n_k E_0 + \frac{eN_r d}{2} \frac{1}{\tau_r} = e\mu n_k E_0 \left( 1 + BA \frac{E_n}{E_0} \right). \quad (12)$$

Аналитическое выражение для стационарного тока  $j_{\infty}$  четко получается из решения системы уравнений (1)–(5) при условии  $E_k \gg E(d)$ , которое практически всегда выполняется. В этом случае для  $t \rightarrow \infty$   $E_k = \sqrt{2E_n E_0 / (1 + A^{-1})}$  и соответственно стационарный ток равен

$$j_{\infty} = e\mu n_k \sqrt{2E_n E_0 / (1 + A^{-1})}. \quad (13)$$

Здесь  $E_n = eN_r d / 2\epsilon\epsilon_0$ . Выражения (12) и (13) могут быть использованы для оценки концентрации примесных центров по амплитуде токовых релаксаций при  $\Delta j = (j_{\min} - j_{\infty}) \leq 0$ . Для положительных релаксаций ( $\Delta j > 0$ ), отвечающих условию  $\tau_k^{-1} < \tau_r^{-1}$ , амплитуда релаксаций, как видно из (10) и (13), равна

$$\Delta j = \frac{eN_r d}{2} \frac{1}{\tau_r},$$

что совпадает с обычно используемым выражением токовой релаксационной спектроскопии в приближении генерационного тока [8].

5. Эксперимент. Проведенный анализ переходного процесса позволил дать непротиворечивую интерпретацию экспериментальных данных по исследованию токовых релаксаций в высокоомных эпитаксиальных слоях арсенида галлия. В качестве примера рассмотрим  $n^+ - \pi - p^+$ -структуру арсенида галлия с высокоомным слоем, легированным железом. Выбор этой структуры обусловлен тем, что уровень Fe (доминирующая легирующая примесь) обменивается носителями заряда только с одной из зон (валентной) во всем практически важном диапазоне температур, поскольку он отстоит от валентной зоны на  $E_{v_F} = 0.52$  эВ и имеет сечения захвата дырок  $\sigma_p = 3.4 \cdot 10^{-16}$  и электронов  $\sigma_n = 6 \cdot 10^{-20}$  см<sup>2</sup> [10]. Таким образом, ток основных носителей заряда в  $\pi$ -слое дырочный, носители заряда поставляются в валентную зону как с центра железа, так и из  $n^+$ -контакта за счет термической эмиссии. При этом резкий асимметричный  $n^+ - \pi$ -переход действует как термоэлектронный эмиттер с потенциальным барьером  $\varphi_{ek}$ , находящимся на расстоянии порядка длины свободного пробега носителя от квазинейтрального объема  $n^+$ -контакта. Поэтому для данного типа барьера контактного граничное условие (7) записывается в виде

$$p_k = N_v \exp(-\varphi_{ek}/kT).$$

Образцы создавались методом жидкостной эпитаксии и представляли собой меза-структурь диаметром  $\sim 0.5$  мм на подложке  $n^+$ -GaAs. Толщина высокоомного слоя  $d = 20$  мкм. Токовые релаксационные спектры измерялись по методике [8]. В температурном интервале  $80 \div 400$  К наблюдался пик отрицательной полярности, который связан с перезарядкой центра Fe. Вид токового релаксационного спектра показан на рис. 3, а. Измерения переходного тока проводились с использованием методики [11]. Переходный ток при напряжении обратного смещения  $V = 50$  В представлен на рис. 3, б. В переходном процессе наблюдается четко выраженный минимум полного тока с последующим длинновременным нарастанием тока к стационарному значению.

Из проведенного в данной работе анализа переходного тока следует, что такой тип переходного процесса и соответствующий отрицательный пик токового релаксационного спектра обусловлены возрастанием во времени тока эмиссии носителей заряда (дырок) из электрода  $n^+$ -GaAs в  $\pi$ -слой в процессе формирования запорного слоя при термической перезарядке центра Fe.

Приведем численные оценки параметров  $n^+ - \pi - p^+$ -структуры и высокоомного слоя GaAs<Fe>, исходя из данных эксперимента.

Температурная зависимость постоянной времени релаксации тока на II стадии переходного процесса позволяет, как обычно в релаксационной спектроскопии, по характеристическим зависимостям  $\tau, T^2 \sim 1/T$  определить энергию залегания центра  $E_{\text{вт}}$  и сечение захвата носителя на центр  $\sigma_p$ . Экспериментально найденные значения  $E_{\text{вт}}=0.52$  эВ и  $\sigma_p=1 \cdot 10^{-16}$  см<sup>2</sup> соответствуют известным данным для центра Fe, приведенным в работе [10].

Параметры  $\varphi_k$ ,  $N_t$  и  $\mu_p$  определялись из значений  $j_{\min}$ ,  $j_\infty$ , температурной зависимости  $j_\infty$  и выражений (12), (13). Из (13) следует, что величина  $j_\infty$  экспоненциально зависит от  $1/T$  с энергией активации  $\varphi_k$ . Измерение поведения  $j_\infty(T)$  одного из образцов дает  $\varphi_{\text{вк}}=0.42$  эВ.

Зная  $\varphi_{\text{вк}}$ , нетрудно найти из величины  $j_{\min}$  значение  $p_k$ , соответствующее граничному условию (7), а из (12) — подвижность дырок  $\mu_p$ . При этом, как показывают оценки, второе слагаемое в (12)  $(BAE_n/E_0) \ll 1$ . Тогда при  $N_t=$

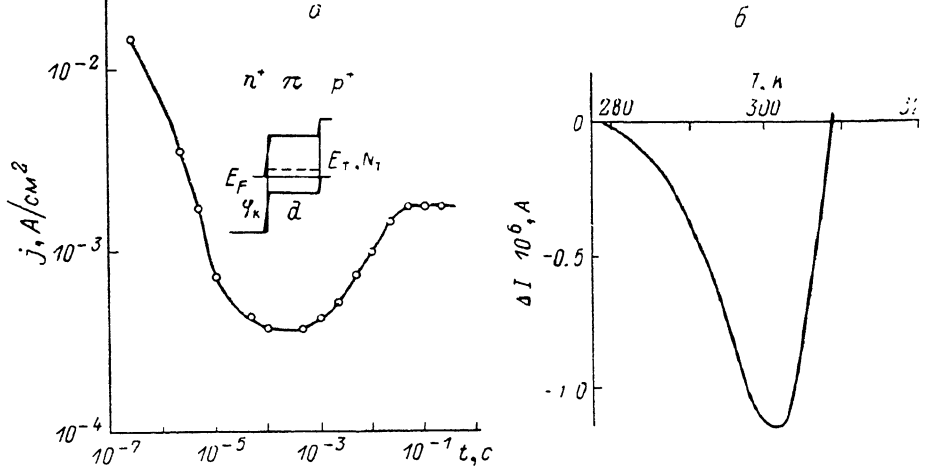


Рис. 3. Переходный ток в структуре  $n^+-\pi-p^+$ -GaAs<Fe> (а) и ее токовый релаксационный спектр (б) при  $V=50$  В.

Значения временных отсчетов дискриминатора экспонент:  $t_1=15$ ,  $t_2=70$  мс. На вставке — зонная диаграмма  $n^+-\pi-p^+$ -структурь.

$=10^{18}$  см<sup>-3</sup>,  $\epsilon=12.5$ ,  $v_p=10^6$  см/с,  $T=300$  К имеем  $p_k=5 \cdot 10^{10}$  см<sup>-3</sup> и  $\mu_p=j_{\min}/ep_kE_0 \simeq 2$  см<sup>2</sup>/В·с,  $A^{-1}=54$ ,  $B=6 \cdot 10^{-4}$ .

Значение  $N_t$  определяется из  $j_\infty$  при  $j_\infty=2 \cdot 10^{-3}$  А/см<sup>2</sup>,  $N_t=3 \cdot 10^{16}$  см<sup>-3</sup>.

Определенные выше параметры структуры обеспечивают с запасом выполнение условия (11), необходимого для наблюдения переходного процесса с минимумом тока.

На рис. 3, б представлена энергетическая диаграмма  $n^+-\pi-p^+$ -структурь, построенная согласно вышеприведенным оценкам ее основных параметров.

Дополнительное подтверждение непротиворечивости используемого подхода может быть получено из анализа начальной стадии переходного процесса, когда дырки уходят из  $\pi$ -слоя за время диэлектрической релаксации  $\tau_\nu=\epsilon\epsilon_0/ep_pP_0$ . Из эксперимента следует, что  $\mu_p P_0 \simeq 6 \cdot 10^{12}$  В<sup>-1</sup>·с<sup>-1</sup>·см<sup>-1</sup>. Учитывая ранее полученное значение  $\mu_p=2$  см<sup>2</sup>/В·с, имеем  $P_0 \simeq 3 \cdot 10^{12}$  см<sup>-3</sup>, что соответствует значению  $P_0$ , найденному из выражения (6). При этом отношение  $j_0/j_{\min}$ , согласно проведенным оценкам, лежит в пределах 24–60, в эксперименте  $j_0/j_{\min}=30$ .

6. Заключение. Таким образом, анализ переходного тока в полупроводниковых структурах с барьерным контактом с использованием численного решения замкнутой системы уравнений, определяющих распределение подвижного и захваченного зарядов, электрического поля и токов в образце, позволил выделить два типа переходных процессов, связанных с термической перезарядкой примесных центров. Один из них обусловлен только током термической

эмиссии носителей заряда с примесных центров и может описываться в рамках модели генерационного тока, при этом роль контактных явлений несущественна. Другой (новый) тип переходного процесса, который прежде выпадал из рассмотрения при использовании приближенных моделей, связан с определяющей ролью тока эмиссии основных носителей заряда из барьера контакта в период формирования приконтактной области пространственного заряда. Полученные аналитические выражения, описывающие переходный процесс, позволяют производить оценки основных параметров полупроводниковой структуры и примесных центров.

Приведенные в работе экспериментальные данные, включающие измерения переходного тока и токового релаксационного спектра в структурах  $n^+ - \pi - p^+$ -GaAs/Fe, находятся в удовлетворительном соответствии с рассмотренной моделью с простейшим граничным условием на контакте.

Авторы выражают благодарность Е. Х. Хайри за предоставление структур  $n^+ - \pi - p^+$ -GaAs/Fe для эксперимента и И. Л. Багинскому за помощь в эксперименте.

#### Л и т е р а т у р а

- [1] Simmons J. G., Taylor G. W. // Phys. Rev. 1972. V. 6. N 12. P. 4793—4814.
- [2] Arnett P. C. // J. Appl. Phys. 1975. V. 46. N 12. P. 5236—5243.
- [3] Sah C. T., Forbes L., Rosier L. L., Tasch A. F. // Sol. St. Electron. 1970. V. 13. N 6. P. 579—592.
- [4] Kao K., Хуанг В. Перенос электронов в твердых телах. Т. 1, 2. М., 1984.
- [5] Hurtres Ch., Boulou M., Mitonneau A., Bois D. // Appl. Phys. Lett. 1978. V. 32. N 12. P. 821—823.
- [6] Yoshie O., Kamihara M. // Japan. J. Appl. Phys. 1983. V. 22. N 4. P. 621—628.
- [7] Дево Б., Тулуз Б. // Полуизолирующие соединения  $A^3B^5$ . М., 1984. С. 167—172.
- [8] Бобылев Б. А., Хайри Е. Х., Чикичев С. И. // ФТП. 1987. Т. 21. В. 6. С. 1133—1135.
- [9] Young L., Tang W. C., Dindo S., Lowe K. S. // J. Electrochem. Soc. 1986. V. 133. N 3. P. 609—619.
- [10] Baginskii I. L., Kostsov E. G. // Phys. St. Sol. (a). 1985. V. 88. P. 331—341. 1985. V. 88. P. 637—646.
- [11] Baginskii I. L., Kostsov E. G. // Phys. St. Sol. (a). 1986. V. 95. P. 291—301.

Институт автоматики и электроники  
СО АН СССР  
Новосибирск

Получена 2.03.1987  
Принята к печати 1.09.1988